

砂渦と水面の波との関連について

東京工業大学 正員 工博 吉川秀夫
東京工業大学 正員 工修 ○福岡捷二

まえがき

砂渦の発生と伝播は流砂量や流れの抵抗と関連して実際上非常に重要な問題である。しかし現段階では現象が複雑なため次元解析や単純化されたモデルを使用して砂渦の発生、伝播の現象を説明しようとしているが、その力学機構を十分説明するまでには至っていない。

この中で Anderson - Kennedy - Reynolds による一連の研究は興味深い。彼等は完全流体の微小振幅波の理論を用いて水面の変動が速度の変動を引き起し 砂渦の発生、伝播を促すという考え方から dune - antidune の発生や卓越波長などについて考察している。しかし発生の原因を水波に求めると次の2点で矛盾を生じる。

- 1) 自由表面が存在しない管路中でも砂渦が生じる。
- 2) 水深が深くなり 水面変動が底面において砂渦発生に影響を持たないと考えられる時にも砂渦が発生する。

著者らはこれらの中を含む砂渦の発生、伝播の機構を説明するため次のモデルを考えた。即ち実際の流れは 多数の流体塊(渦粒子)の不規則な運動からなるものと考え 渦粒子が速度変動を引き起し 砂渦の発生、伝播を促す。この渦粒子には大小種々のものがありそれらの作用により種々の大さの砂渦の発生、消滅をくり返し 最終的な砂渦の形態は流れに応じた最も卓越した渦にすぎないものと考える。ここで渦を特長づけるものとして如何がよろしいかが問題である。

一般には速度変動や圧力変動から定められるが、これらの測定は難かしいので水面変動で代表させる。水面変動と速度変動の関連について細井⁽¹⁾らの研究で殆んど同期が一致することが報告されている。乱流場は種々の大さの渦から成立しているが 砂渦に結びつける代表渦径として自己相関係数から定義される最小渦径は 速度変動やエネルギーの遠散に特に大きく作用するので 本研究では代表渦径の1/10の目安として最小渦径を用いる。

2 実験装置と方法

実験水路は 長さ8m、中0.4mの鋼製環流式可変水路であり 水路中央部は両面ガラス張りである。実験に用いた砂は 平均粒径 0.015cm、比重 2.65の一様な標準砂である。

水面変動の測定は抵抗探査式波高計を水路中央部縦断方向に 25cm 間隔に3本据えつけ 次の3段階について測定した。

- ① 砂渦の発生開始時
- ② 砂渦が水面との関連とともに次第に発達していく時
- ③ 十分長い時間で経過し 砂渦がほぼ平衡状態に達している時

河床変動は ③の段階に相当した砂渦。十分発達した平衡状態に達したものについて 水路中央部縦断方向にボルトゲージで1cm間隔に測定した。

3 計算方法

水面の時間的な変化の記録を1つの時系列量とみなし波高の自己相関係数 $R(\tau)$ を求めた。

計算に用いたデータは 0.02 sec 間隔 1000 個で
すらし数 200 個である。

一方河床変動は 通水後水路中央部を維持方向に
測定し同様に自己相関係数 $R(l)$ を求めた。

計算に用いたデータは 400 個 すらし数 150
個、すらし間隔 1.0 cm である。

計算精度を調べたため水面については $N=1700$
河床については $N=600$ まで すらし数もそれより
多く 300, 200 等で大きくして比較してみたが上述
の値程度で十分信頼できる結果が得られることが
わかった。計算は東京大学大型計算センター
HITAC 5020 によった。

水面とそれに対応する河床の変動の自己相関係
数の例を図1, 図2 に示す。

前述の如く代表渦径(最小渦径)入は 乱流理論
と同様に自己相関係数から求めて、入を求
めよう。一例を図3 に示す。

Taylor によれば homogeneous field での流れの平均
速度 \bar{U} と変動速度 u の関係は $\bar{U} \gg u$ であれば近
似的で

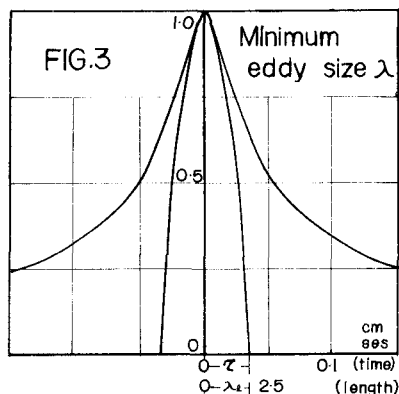
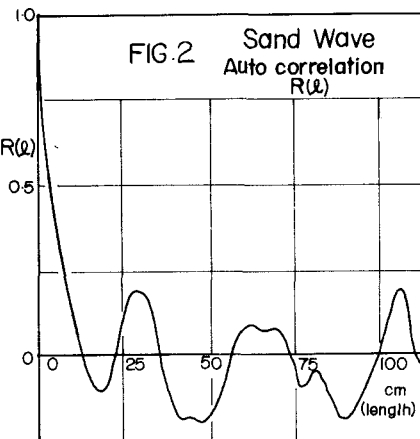
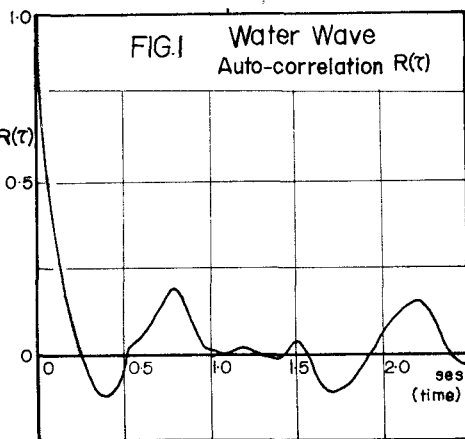
$$\lambda_e = U \tau = \lambda_e$$

$$U = \bar{U} + C_g$$

が成立する。この関係は必ずしも homogeneous field で
なくとも壁面の近く近い所でなければ非等方性剪断流につ
いても成立することが認められていく⁽²⁾。上式は砂渦の特
性長 λ_e と代表渦径 λ_e との関係である。 \bar{U} は流中の平
均流速であり C_g は水面の波の複雑から種々の波長の波
が群をなして群が相次いで伝播していく群波の形をと
ると予想される。水深が浅いので群波の波速は浅水波の
波速を C_1 とすると

$$C_g = \frac{g}{2} \left\{ 1 + \frac{4\pi h}{L} \cdot \frac{1}{\sinh \frac{4\pi h}{L}} \right\}$$

長波の波速 C_1 とこれらの中には次式が成立する。



$$C_0 < C_1 < C_2$$

表-1

図-1から明らかのように水面の波に明確な周期性がなく卓越波長、同期を決めることは困難であるので便宜的に長波の式で計算し実験の範囲では $C_0 = (0.55 \sim 0.75) \cdot C_2$ より群波速度 C_0 を換算する。その結果表-1に砂灘の特性長 λ_e と端の代表徑 λ_e との関係が砂灘の発達の3段階と共に比較されてゐる。

ここで同一時刻に3点 ($J=1, 2, 3$) で測定した値はほとんど同一値であるので、それぞれの平均値をもって各時刻のてとし又砂灘のスペクトルから求めた入射は3段階の入射に対応する。

3 結果の考察と今後の研究の方向

現段階では資料数が少なく、又限られた範囲の水理条件についてしか実験を行なっていながら表-1の結果から次のことがいえる。

- 平衡状態が達成された段階では砂灘の特性長 λ_e と代表端徑 λ_e の系統的な説明がつまらざる。しかし砂灘の発生時及びその発達過程での代表端徑 λ_e は最終段階の λ_e と同じではなくやや大きいことがわかった。今後砂灘の最終段階ばかりでなく種々の発達段階について調べ砂灘の時間的変化と代表端徑 λ_e との関連のもとに調べる必要がある。
- 自己相關係数から推定される砂灘は random 性の他に比較的明確な周期性がある。
これに対する水面の変動は周期性が殆んどみられない random 性の強い変動を示す。

この研究は砂灘の発生、伝播は大小種々の端による速度変動で走り、最終的な砂灘は流れの最も卓越した端(代表端)で走るという著者らの研究の第一歩であり、或程度確かめることができた。今後はこの点を更に明らかにするため水面に一定の波を送った場合、random な擾乱を水面に与えた場合、底に固定した二次元的な砂灘を与えた場合、などこれらから推定土砂の入射と砂灘から生ずる λ_e の間に前述の関係が成立するかどうか検討中である。

更には前述のゆく砂灘について比較的周期性が認められるので、周期性と代表端徑 λ_e との関係や水理量との関係についても検討するつもりである。

参考文献

- (1) 細井、杉山：流れの中に発生する波の実験的研究(第一報) 第10回水理講演会講演集
- (2) 日野幹雄：河川の乱流現象、1966年度水工学に関する定期研究会講義集 A. 河川、ダムコース。